

ГЛАВА 9 ВНУТРЕННЕЕ СТРОЕНИЕ ПЛАНЕТ-ГИГАНТОВ¹⁾

«Сейчас уже является общепринятым, что Малая средняя плотность планет-гигантов объясняется тем, что они состоят из плотного ядра, окруженного несравненно менее плотной оболочкой. Нет оснований считать, что состав ядер планет-гигантов отличается от состава Земли, кроме еще большей плотности этих ядер из-за большого давления в глубине».

О. Ю. Шмидт, «Четыре лекции о "теории происхождения Земли».

В настоящее время космическая эра «коснулась» и планет-гигантов; 4 декабря 1973 г. впервые космический аппарат «Пионер-10» пролетел мимо Юпитера и передал на Землю результаты измерений различных физических полей Юпитера и его фотографий. Ровно через год (2 декабря 1974 г.) аппарат «Пионер-11» пролетел на еще более близком расстоянии от планеты, выполнил летательные измерения и, развернутый монитным гравитационным полем Юпитера, направился в сторону Сатурна. Траектория «Пионера-11» такова, что по дороге к Сатурну он выходит из плоскости эклиптики на полторы астрономические единицы²⁾. Это позволяет исследовать космическое пространство вдали от планетных орбит. В 1979 г. «Пионер-11» должен пройти между поверхностью Сатурна и его колышами и передать научную информацию на Землю. Если Юпитер находится на расстоянии 5,2 а. е. от Солнца, Сатурн — 9,5 а. е., то Уран — следующая после Сатурна большая планета — отстоит от Солнца на расстоянии 19,2 а. е. Не исключено, что «Пионер-11» после Сатурна направит-

¹⁾ Наше изложение основано на работах, выполненных в Институте Физики Земли АН СССР им. О. Ю. Шмидта автором совместно с В. П. Трубицким, А. Б. Макакинским и И. А. Паренским.

²⁾ Астрономическая единица (а. е.) равна среднему расстоянию Земли от Солнца: 1 а. е. = 149,6 млн. км. В плоскости эклиптики расположена орбита Земли, а орбиты всех остальных планет близки к этой плоскости.

ся к Урану. Этот путь займет десятилетие, но, видимо, источников питания аппаратуры будет недостаточно, чтобы исследовать и передать информацию на Землю о третьей большой планете. Последняя большая планета — Нептун, удалена от Солнца на 30 а. е. Все планеты-гиганты обладают спутниками системами (см. табл. 13). В планетах группы Юпитера сосредоточена почти вся планетная масса и подавляющая часть момента количества движения Солнечной системы. Поэтому изучение планет-гигантов является ключевым вопросом в проблеме происхождения и эволюции Земли и планет Солнечной системы.

9.1. СОЗДАНИЕ ВОДОРОДНОЙ КОНЦЕПЦИИ ЮПИТЕРА И САТУРНА

Первые работы о моделях Юпитера и Сатурна принадлежат Джейффрису (1923—1924 гг.). Он использовал неравенство

$$\rho_s \leqslant \frac{5}{2} \frac{I}{MR^2} \cdot \rho \quad (66)$$

для оценки поверхностной плотности планеты ρ_s через ее массу M , средний радиус R , среднюю плотность ρ и средний момент инерции I . Величины M и R были известны из наблюдений, ρ легко вычислить по M и R , а I было вычислено по формуле Радо — Дарвина (64) через J_2 и динамическое сжатие α [формула (63)]. Для Юпитера и Сатурна по наблюдениям за движением ближайших к планетам естественных спутников были определены два первых четных гравитационных момента J_2 и J_4 (см. табл. 13). В результате внешний гравитационный потенциал для обеих планет имеет вид

$$V(r, \theta) = \frac{GM}{r} \left\{ 1 - \left(\frac{a}{r} \right)^2 J_2 P_2(\cos \theta) - \right. \\ \left. - \left(\frac{a}{r} \right)^4 J_4 P_4(\cos \theta) - \dots \right\}, \quad (67)$$

т. е. соответствует полю гидростатически равновесной планеты (см. § 2.4). Используя формулу (66), Джейффрис получил $\rho_s < 0,8 \text{ g/cm}^3$ для Юпитера и $\rho_s < 0,4 \text{ g/cm}^3$ для Сатурна. Джейффрис не придал должного значения этим цифрам, так как в то время не было известно достаточно

распространенных в космосе веществ, которые в твердом состоянии обладали бы такими низкими плотностями. Соответственно первая модель Юпитера была построена так, чтобы обойти трудность с низкой поверхностной плотностью. Предполагалось, что Юпитер состоит из каменного ядра, мантии из воды и углекислоты в твердом состоянии и очень разреженной, но глубокой атмосферы. В результате атмосфера, не влияя существенно на массу планеты, существенно увеличивала ее радиус, который определялся по облачному слову.

Независимо от Джейффриса советский астроном академик В. Г. Фесенков (1924 г.) указал, опираясь на те же соображения, что лишь плотность водорода и гелия может отвечать наружным слоям этих планет. Однако данные о распространенности элементов опять-таки не позволили

В. Г. Фесенкову настаивать на своем фундаментальном заключении. Через 10 лет американский астрофизик Вильдт (1934 г.) отметил, что вывод Джейффриса следует понимать буквально, и предложил модель: твердое ядро ($\rho_1 = 5,5 \text{ g/cm}^3$ — средняя плотность Земли), оболочка из отвердевшего ($\rho_2 = 1,0 \text{ g/cm}^3$), наружная оболочка из водорода и гелия ($\rho_3 = 0,35 \text{ g/cm}^3$). Неизвестные радиусы двух поверхностей раздела определялись по средней плотности и моменту инерции. Работа Вильдта еще не означала создания водородной концепции планет-гигантов.

Водородная проблема, как мы ее понимаем сейчас, ведет свое начало с работы американских физиков Вингера и Хантингтона (1935 г.) о металлизации водорода. По существу, с этой же работы начинается проблема фазовых переходов диэлектрик — металл. При обычных условиях и сравнительно небольших давлениях молекулярный водород представляет собой диэлектрик. Однако, как впервые показали Вингер и Хантингтон, если его сжать до давлений $\sim 10^6 \text{ bar}$, водород из молекулярной фазы переходит в металлическую, т. е. превратится в простейший одновалентный металл с плотностью $\sim 1 \text{ g/cm}^3$.

В 1937 г. норвежский геохимик Гольдшмидт публикует первую таблицу космической распространенности элементов, из которой следовало, что водород наиболее распространеный элемент в Солнечной системе и Вселенной.

После этих работ Вильдт (1938 г.) реинтерпретирует свою модель 1934 г., приняв $\rho_2 = 1,0 \text{ g/cm}^3$ (плотность металлического водорода). Создание водородной концепции

Юпитера и Сатурна было завершено в 1951 г. в работах В. Г. Фесенкова и А. Г. Масевич в СССР, Рамзая в Англии и Де Маркуса в США.

Юпитер и Сатурн являются водородо-гелиевыми планетами. Для того чтобы убедиться в этом, достаточно обратиться к рис. 31, на котором приведены кривые мас-

са — радиус для планет, состоящих из чистого водорода и чистого гелия. Мы видим, что как строение Юпитера, так и строение Сатурна хорошо соответствуют водородной кривой. Это обстоятельство, конечно, не случайно.

Водород — наиболее распространенное элемент в Солнечной системе, звездах и межзвездной среде, а гравитационное поле планет-гигантов таково, что оно способно удержать водородную атмосферу в течение времени существования планет.

Вторым по обилию элементом во Вселенной является гелий. Обилие гелия по числу частиц таково, что отношение $H/He \sim 10$. Обращаясь к рис. 31, мы видим, что планеты Юпитер и Сатурн несколько смешены с водородной кривой в сторону гелиевой кривой. В связи с этим естественно ожидать в обеих планетах существование примеси гелия. Определение концентрации гелия в обеих планетах является важнейшей задачей физики планет и имеет большое значение для космогонии. Искомое определение устанавливается, если построена модель планеты. Остальные элементы, например, кислород, углерод, азот, кремний, железо и др. встречаются гораздо реже, чем водород и гелий, и их содержание в Юпитере и Сатурне в настоящее время определяется менее уверенно.

Современные исследования внутреннего строения планет-гигантов ведут свое начало с работы, выполненной в 1958 г. учеником Вильдта американским астрофизиком Де Маркусом. Де Маркус воспользовался экспериментальными данными о сжимаемости водорода и гелия до 20 кбар и определил интерполяционные уравнения состояния водорода и гелия так хорошо, что они мало изменились с тех

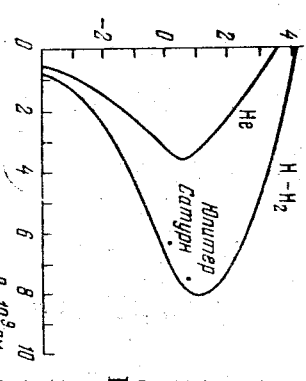


Рис. 31. Диаграмма масса — радиус для планет, состоящих из водорода и чистого гелия.

пор. Кроме того, он привел к построению моделей Юпитера и Сатурна теорию фигуры жидкого вращающихся планет второго приближения. Эта теория в первом приближении была построена Клеро (см. § 2.2), а во втором — английским теоретиком Дарвином в конце прошлого века и усовершенствована в начале нашего столетия голландским астрономом Де Ситтером. Поскольку теория фигуры является основным теоретическим аппаратом, используемым для исследования больших планет, то о ней сколько подробнее мы скажем ниже. Вместо двух условий — сохранение средней плотности ρ и среднего момента инерции J — Де Маркус контролировал распределение плотности в модели по трем условиям: ρ и первым четным гравитационным моментам J_2 и J_4 , которые для Юпитера и Сатурна известны из наблюдений. Раньше для определения J через J_2 использовалась формула Радо — Дарвина (64), которая плохо подходит для планет с сильной концентрацией вещества к центру. Де Маркус построил первую удовлетворительную модель Юпитера и достаточно хорошую модель наружных слоев Сатурна. Работа Де Маркуса была расширена американским астрофизиком Пиблсом (1964 г.), который использовал ЭВМ и рассмотрел большое число моделей.

9.2. ТЕОРИЯ ФИГУРЫ

Основной задачей теории фигуры является определение формы уровневых поверхностей планеты. На уровневой поверхности постоянен гравитационный потенциал, а в гидростатически равновесной планете на уровневой поверхности постоянны также плотность, давление, температура и т. д. Ось вращения планеты является ее осью симметрии, поэтому уравнение уровневых поверхностей не зависит от долготы. Ясно также, что форма уровневых поверхностей не должна зависеть от того, в какую сторону вращается планета. Поэтому при построении теории равновесной фигуры уравнение стандартного сфероида ищется в виде

$$r(s, \theta) = s \{ 1 + s_2(s) P_2(t) + s_4(s) P_4(t) + s_6(s) P_6(t) + \\ + s_8(s) P_8(t) + s_{10}(s) P_{10}(t) + \dots \}, \quad (68)$$

$$t = \cos \theta,$$

где θ — полярное расстояние, s — средний радиус (радиус

сферы эквивалентного объема), $P_{2i}(t)$ — четные полиномы Лежандра, зависящие от четных степеней t . Теория Фигуры строится последовательными приближениями. Максимальным параметром теории фигуры является безразмерный квадрат угловой скорости планеты

$$m = \frac{\omega^3 R^3}{G \cdot M} = \frac{3\omega^2}{4\pi G \rho} = \frac{3\pi}{G \rho t^2}, \quad (69)$$

где ω , τ , R , M и ρ — соответственно угловая скорость и период вращения, средний радиус, масса и средняя плотность планеты. Величина m имеет простой физический смысл: она равна отношению центробежного и гравитационного ускорений на экваторе планеты. Если бы планета не вращалась, то система уровенных поверхностей представляла бы ньютоновские сферы. В формуле (68) этому соответствует равенство нулю всех функций $s_{2i}(s)$ для любого i . Внешнее гравитационное поле такой планеты описывалось бы ньютоновским потенциалом (10), или, можно сказать, что у жидкой невращающейся планеты в выражении (67) все гравитационные моменты равны нулю для любого i . В действительности все планеты вращаются, причем планеты-гиганты вращаются довольно быстро. В теории фигуры первого приближения в формуле (68) удерживается первая функция $s_2(s)$, являющаяся малой величиной порядка m . В этом случае уровнянными поверхностями являются эллипсоиды вращения. Получается так, что центробежные силы как бы растягивают сферу в эллипсоид вращения. В этом приближении все остальные функции $s_{2i}(s)$ ($i = 2, 3, \dots$) равны нулю. Внешний гравитационный потенциал в первом приближении отличается от ньютоновского потенциала на слагающее, пропорциональному гравитационному моменту J_2 в формуле (67), причем $J_2 \sim m$. В теории фигуры Дарвина — Де Ситтера в (68) сохраняется следующая функция $s_4(s)$, а уровенные поверхности во втором приближении отклоняются от эллипсоидов вращения. Выражение для потенциала (67) удлиняется, так как в нем появляется член с $J_4 \sim m^2$. Эти рассуждения естественным образом обобщаются на любое приближение.

В общем случае функции $s_{2i}(s)$ и гравитационные моменты J_{2i} в (67) имеют следующий порядок малости:

$$s_{2i}(s) \sim m^i, \quad J_{2i} \sim m^i. \quad (70)$$

Величины J_{2i} определяются из наблюдений и дают ин-

тегральные условия для допустимых распределений плотности в планете. Они выражаются через определенные интегралы от плотности $\rho(s)$ и функции $s_{2i}(s)$, которые находятся путем решения системы уравнений теории фигуры. При этом моменты J_{2i} вычисляются последовательными приближениями в виде разложения по степеням m :

$$J_{2i} = \sum_{k=0}^{\infty} J_{2i}(k) m^{i+k}. \quad (71)$$

На практике в ряде (71) удерживается всего несколько членов. В настоящее время автор книги и В. П. Грубицын построили теорию фигуры пятого приближения. Это позволит в будущем при построении моделей использовать первые пять четных моментов $J_2, J_4, J_6, J_8, J_{10}$. Точность определения моментов J_2 и J_4 Юпитера, достигнутая с помощью космических аппаратов «Пионер-10» и «Пионер-11», в настоящее время такова, что при построении модельной приходится использовать теорию фигуры четвертого приближения.

9.3. АДИАБАТИЧЕСКАЯ МОДЕЛЬ

Ниже перечислено пять основных аргументов в пользу того, что Юпитер является газо-жидким телом с адиабатическим распределением температуры внутри планеты. Из этих аргументов вытекает также, что Юпитер находится в конвективном состоянии, т. е. вынос из него тепла осуществляется механизмом конвекции и он находится в состоянии, близком к гидростатически равновесному.

1. Если Юпитер образовался как горячее тело (трудно представить, чтобы такая огромная планета не разогрелась при своем образовании), то за время своего существования $t_n \sim 4.5 \cdot 10^9$ лет он не мог остыть, так как длина его остыивания

$$l_{\text{ост}} \sim (\chi \cdot t_n)^{1/2} \quad (72)$$

порядка $5 \cdot 10^2$ км ($\chi \sim 10^{-2} \div 10^{-3}$ см 2 /сек — коэффициент температуропроводности молекулярного водорода).

2. Поток тепла из недр планеты по данным широколюбовых инфракрасных измерений, подтвержденных данным аппаратов «Пионер-10» и «Пионер-11», оказался равным $\sim 10^4$ эрг \cdot см $^{-2} \cdot$ сек $^{-1}$ (соответственно для Сатурна $\sim 3 \cdot 10^3$ эрг \cdot см $^{-2} \cdot$ сек $^{-1}$), что указывает на конвективное состояние глубокой наружной зоны или всей пла-

нется в целом, так как такой поток более, чем на четыре порядка превышает максимальный вынос тепла за счет механизма молекулярной теплопроводности (т. е. подсчитанный по формуле (34); так, для Юпитера и Сатурна имеем $q_{\text{ю}} \leq 0,2 \text{ эрг} \cdot \text{см}^{-2} \cdot \text{сек}^{-1}$, $q_{\text{с}} \sim 0,1 \text{ эрг} \cdot \text{см}^{-2} \cdot \text{сек}^{-1}$). Интересно отметить, что поток тепла из недр обеих планет равен примерно потоку тепла, который они получают от Солнца.

3. Юпитер обладает собственным магнитным полем, формирующимся в его внутренней металлической водородной оболочке (отстоящей от поверхности на две десятичные радиуса планеты), которая опять-таки должна быть в конвективном состоянии.

4. Рассматривая эволюцию спутниковых орбит Юпитера, Сатурна и Урана, американские астрофизики Голдрайх и Солтер оценили значения удельной диссилиативной функции Q для этих планет (смысл функции Q разъясняется в § 3.2). Оказалось, что $Q_{\text{ю}} \geq 2,5 \cdot 10^4$, $Q_{\text{с}} \geq 1,4 \cdot 10^4$, $Q_{\text{у}} \geq 5 \cdot 10^3$, что на два порядка больше, чем типичные значения для вспески в твердом состоянии, в частности, для оболочки Земли и для планет земной группы. Таким образом, эти оценки могут быть истолкованы как указание на жидкое состояние Юпитера, Сатурна и Урана.

5. Измерения гравитационного поля Юпитера аппаратами «Пионер-10» и «Пионер-11» не обнаружили «следов» первого нечетного момента J_3 с точностью до 10^{-6} в гравитационном потенциале планеты, что указывает на близость Юпитера к гидростатически равновесному состоянию. Разъясним теперь смысл утверждения «планеты-гиганты — газо-жидкие тела». Критическое давление и критическая температура водорода равны 13 атм и 33 °К. При давлении и температуре выше критических не существует границы между газовой и жидкой фазами молекуларного водорода. Юпитер и Сатурн почти сплошь состоят из водорода, а Уран и Нептун покрыты водородными оболочками толщиной примерно в две десятых радиуса планеты, причем во всех четырех планетах водород находится в закритической области. В результате по мере погружения вглубь планеты газовая атмосфера уплотняется под давлением лежащих выше слоев и непрерывно переходит в жидкое сравнительно плотное состояние, причем границы между газовой атмосферой и лежащей под ней жидкой планетой не существует. Далее, температура плавления водорода в условиях недр Юпитера и Сатурна в несколько

раз меньше адиабатических температур в этих планетах. Температура плавления воды, — второй по значению компоненты больших планет, — вероятно, меньше, чем адиабатические температуры в большей части Урана и Нептуна. На основании этих аргументов и говорят, что недра всех планет-гигантов находятся в газо-жидком состоянии, исключая, быть может, их небольшие центральные области. Представление о газо-жидком состоянии планет-гигантов было разработано автором и В. П. Трубицыным в СССР и Хаббардом в США.

9.4. ДАННЫЕ НАБЛЮДЕНИЙ

Данные наблюдений, используемые при расчете моделей, сведены в табл. 13. Там же указаны некоторые дополнительные характеристики больших планет. Атмосфера Юпитера и Сатурна находится в состоянии дифференциального вращения, т. е. угловые скорости вращения различных широтных поясов не совпадают. Поэтому довольно трудно выбрать правильное значение периода вращения планеты T . За период вращения Юпитера как планеты, выбирают период вращения его магнитосферы, так как источники большого собственного магнитного поля расположены в металлической оболочке планеты, отстоящей от облачного слоя на 0,2 радиуса Юпитера. Этот период практически совпадает с периодом вращения среднеширотных и полярных областей облачного слоя планеты. Дифференциальное вращение атмосферы Сатурна заметно больше (до 10%). Отсутствие достаточных данных о собственном магнитном поле Сатурна не позволяет однозначно произвести выбор периода вращения планеты. По аналогии с Юпитером за период вращения Сатурна берут значение, определяемое для его средних широт. При построении аддабатических моделей планет-гигантов важное значение имеет выбор граничного давления p_1 и температуры T_1 , которые связаны между собой законом аддабаты. Удобно в качестве граничной выбрать поверхность, на которой $p_1 = 1 \text{ бар}$. Тогда значение T_1 , определяют по моделям атмосфер планет. При $p_1 = 1 \text{ бар}$ T_1 для Юпитера по различным оценкам заключено между 130 и 230 °К (наиболее вероятно $T = 160$ —190 °К), а для Сатурна между 90 и 150 °К. Для Урана и Нептуна неопределенность в выборе T_1 значительно больше. Для обеих планет разумно предположить T_1 лежащей в интервале

Таблица 13

Данные наблюдений для планет группы Юпитера

Параметр	Юпитер	Сатурн	Уран	Нептун
Масса $M \cdot 10^{30}$, g	1,90	0,569	0,0872	0,103
Масса (Земля=1)	317,9	95,2	14,6	17,2
Экваториальный радиус a , км,	714 000	56 900	25 400	25 200
J_2	$0,01475 \pm 0,00005$	$0,01667 \pm 0,00002$	0,012 или 0,005 по данным разных авторов	$0,0039 \pm 0,0004$
J_3	$0,00058 \pm 0,00004$	$0,00104 \pm 0,00008$		
t , часы	9,925	10,41	10,8	15,8
$m(68)$	0,084	0,14	0,07	0,026
Динамическое сжатие, α	0,065	0,098	0,054	0,019
Средняя плотность, ρ , $\text{г}/\text{см}^3$	1,3	0,7	1,3	1,7
Ускорение силы тяжести на экваторе, $\text{м}/\text{сек}^2$	22,9	9,1	7,8	11
Вторая космическая скорость на экваторе, $\text{км}/\text{сек}$	59,5	35,6	21,2	23,6
Среднее расстояние от Солнца, а. е.	5,2	9,54	19,2	30,1
Количество спутников	13	10	5	2

80—100°К. По тем оценкам T_1 , которые приведены выше, следует, что граничная поверхность с p_1 , T_1 расположена во всех четырех планетах глубже облачных слоев, так как по наблюдениям температуры облачного слоя планет-гигантов меньше, чем T_1 .

9.5. РАСПРОСТРАНЕННОСТЬ ЭЛЕМЕНТОВ И ГРУППЫ КОСМОХИМИЧЕСКИХ ВЕЩЕСТВ

Первая современная сноска космической распространенности химических элементов сыграла важную роль в создании водородной концепции строения Юпитера и Сатурна. Еще большую роль данные о распространенности элементов и предполагаемом химическом составе протопланетного облака будут играть в предстоящие годы при построении детальных моделей планет-гигантов. Наоборот, построение моделей планет-гигантов позволяет получить интегральные соотношения между различными наиболее обильными элементами, которые характеризуют как протопланетное облако, так и протосолнце. Фундаментальные сводки распространенности химических элементов были опубликованы американскими геохимиками Зюссом и Юрием (1956 г.) и астрофизиком Аллером (1961 г.). В последнее время опубликовано несколько сводок распространенности элементов. Например, сводка американского геохимика Льюиса (1972 г.) имеет вид: Н ($2,8 \cdot 10^4$), He ($4,8 \cdot 10^3$), O ($16,6$), C ($10,0$), N ($2,4$), Ne ($2,1$), Mg ($0,85$), Si ($1,00$), Fe ($0,80$), S ($0,46$), Ar ($0,15$), Al ($0,07$), Ca ($0,06$), Na ($0,043$), Ni ($0,05$), ... Число в скобках за символом химического элемента указывает, сколько атомов данного элемента приходится на один атом кремния. Если бы были точно известны обилие гелия в Солнце и отношение H/He по числу частиц, то эти данные можно было бы использовать при расчете моделей больших планет. К сожалению, отношение H/He $\sim 12 \div 20$ все еще недостаточно надежно, хотя большинство исследователей принимают такие значения средней массовой концентрации водорода (X) и гелия (Y): $X \sim 70 \div 80\%$, $Y \sim 30 \div 20\%$.

По современным представлениям в протопланетном облаке на расстояниях планет-гигантов температуры (после остыивания облака), вероятно, не превышали 150°К, а давление в зоне Юпитера и Сатурна $10^{-7} \div 10^{-9}$ атм в зоне Юпитера и Нептуна. В этих условиях большинство перечисленных выше элементов

образует гидриды и окислы. Более сложные соединения, например, силикаты, можно представить с достаточной точностью в виде определенной комбинации окислов и таким образом конкретизации сложных соединений при построении моделей несущественна. Все космохимические соединения по их легкучести разделяются на три группы. К первой группе относят водород (H_2), гелий (He) и неон (Ne). Это так называемая газовая водородо-гелиевая компонента (Γ -компоненты), которая в условиях образования планет-тигантов не входит в конденсат. Вторую группу образуют вещества средней легкучести. Это так называемая Λ -компоненты (ледяная компонента). Основные ее составляющие метан (CH_4), аммиак (NH_3) и вода (H_2O). Нелегкие вещества объединяют в третью группу. В нее входят окислы, железо и никель ($SiO_2, MgO, FeO, FeS, Fe, Ni, \dots$). Третью группу называют $\Theta\Lambda$ (тяжелая компонента).

Вещества $\Theta\Lambda$ вместе с веществами компоненты Λ образовывали состав конденсата (пылевую составляющую) протопланетного газово-пылевого облака в рассматриваемый его части ($\Theta\Lambda\Gamma$ -компонента).

В случае, если температуры в рассматриваемой части протопланетного облака были более высокими ($> 150^{\circ}K$), нужно исследовать также другие разбиения веществ на группы, при которых часть вещества ледяной компоненты переходит в газовую компоненту. Тогда возникают следующие варианты Λ : ΛI ($CH_4 + NH_3 + H_2O$), ΛII ($NH_3 + H_2O$), ΛIII (H_2O). Соответствующие им варианты Γ -компоненты: ΓI ($H_2 + He + Ne$), ΓII ($\Gamma + CH_4$), ΓIII ($\Gamma + NH_3$). Вариант Γ -компоненты, соответствующий случаю, когда к конденсату относится только $\Theta\Lambda$ -компонента, будет ΓIV ($\Gamma III + H_2O$). Внутри каждой группы вещества берутся в той же пропорции, в какой они распространены в космосе.

9.6. УРАВНЕНИЕ СОСТОЯНИЯ

Зависимость давления от плотности и температуры $p = p(\rho, T)$ называется уравнением состояния. Обычно уравнение состояния представляют в виде суммы поправочного давления $p(\rho, 0)$ (кулевой изотермы) и теплового давления

$$p(\rho, T) = p(\rho, 0) + \frac{3RT}{A} \rho \gamma(\rho), \quad (73)$$

где $R = 8,314 \cdot 10^7 \text{ эрг/град моль}$ — постоянная, T — абсолютная температура в градусах Кельвина, A — средний атомный вес, $\gamma(\rho)$ — параметр Грюнайзена (функция плотности). Понятие параметра Грюнайзена было введено в § 7.5. Важно то, что диапазон изменения $\gamma(\rho)$ очень мал. Действительно, при обычных условиях γ не превосходит $2 \div 3$, а при сверхвысоких давлениях $\sim 10^8 \text{ бар}$ $\gamma = 2/3$. Характерные давления в недрах больших планет $10^6 \div 10^8 \text{ бар}$, а температуры $\sim 10^3 \div 10^4 \text{ }^{\circ}\text{К}$. Очевидно в этих условиях вклад теплового давления (возникающего из-за тепловых колебаний атомов) в полное давление для металлического водорода ($\rho_H \sim 1 \text{ г/см}^3$, $\gamma \sim 1$, $A = 1$) и для воды ($\rho_{H_2O} \sim 3,5$, $\gamma \sim 1$, $A = 6$):

$$p_T = \frac{3RT}{A} \rho \gamma(\rho) \sim$$

$$\sqrt{\frac{3 \cdot 8 \cdot 3 \cdot 10^7 (10^3 \div 10^4)}{6}} \cdot 3,5 \approx 1,4 (10^6 \div 10^8) \text{ бар} \text{ для } H_2O$$

Если обратиться к рис. 34—37, на которых показаны модели Юпитера, Сатурна, Урана и Нептуна, то легко видеть, что в (p, T) условиях планетных недр вклад теплового давления в полное давление не превышает $(10 \div \frac{1}{2} 20)\%$. Следовательно, закон, по которому сжимается вещество в недрах, в основном определяется первым слагаемым в (73) — нулевой изотермой. В настоящее время нулевые изотермы всех основных космохимических элементов и соединений определены с точностью $\sim 5\%$ по давлению. Для построения $p(\rho, 0)$ использовался метод графической интерполяции. При давлениях до $\sim 1 \text{ Мбар}$, закон, по которому сжимается то или иное вещество, может быть установлен с помощью экспериментальных данных (статических и динамических). При высоких давлениях $p > 100 \text{ Мбар}$ этот закон может быть установлен теоретически. Поэтому, чтобы определить нулевую изотерму конкретного космохимического вещества во всем интервале давлений, представляющем интерес для планетофизики, стаженные экспериментальные данные при низких давлениях «спиваются» с рассчитанными значениями при высоких давлениях. Чтобы читатель мог составить

представление о функциях $p(\rho, 0)$ для различных веществ, приводим табл. 14. Цифры в таблице дают с большим числом знаков, чтобы не терять точность при определении темпа нарастания плотности. Во втором столбце приведены данные для металлического водорода, а в третьем для молекулярного водорода. Переход молекулярного водорода в металлический не поддается теоретическому

Таблица 14

Плотность в $\text{г}/\text{см}^3$ в зависимости от давления в барах для космических элементов и соединений

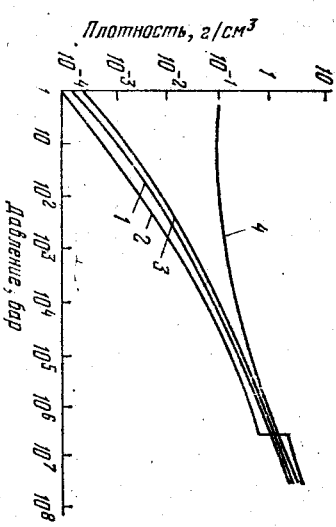
$\rho_{бар}$	H	H_2	CH_4	NH_3	H_2O	He	Ne
1	0,58	0,089	0,51	0,83	1,516	1,506	
$1 \cdot 10^3$	0,617	0,112	0,544	0,861	1,552	0,32	1,603
$1 \cdot 10^4$	0,635	0,170	0,660	0,933	1,622	0,52	1,918
$1 \cdot 10^5$	0,657	0,320	0,977	1,288	1,997	0,94	2,911
$1 \cdot 10^6$	0,860	0,694	1,803	2,213	3,126	1,90	5,129
$1 \cdot 10^7$	1,93	1,83	4,246	5,105	6,607	4,60	10,715
$1 \cdot 10^8$	5,90	5,79	12,078	14,061	17,418	13,1	25,586

*) Гипотетическое уравнение состояния.

расчету. Давление перехода слабо зависит от температуры и определяется величиной $\sim 3 \cdot 10^6$ бар. При переходе в твердой фазе плотность скачком увеличивается на $\sim 10\%$. В расплавленном состоянии (в жидкой фазе) переход происходит непрерывно. В табл. 14 приведены данные для фаз высокого давления. Такой фазой для воды является модификация лед VII, устойчивая при давлении, большим 22,5 бар. Для железа эта фаза устойчива при давлениях, больших 130 бар. Уравнение состояния для фазы высокого давления FeS является гипотетическим, так как для

этой фазы отсутствуют надежные экспериментальные данные при $p < 1$ Мбар. В целом табл. 14 дает ясное представление о тех плотностях, которые рассматриваемые вещества имеют при высоких давлениях. Предположение об адиабатическом изменении температуры в недрах планет-гигантов позволяет определить уравнение адиабаты

Рис. 32. Уравнения состояния водорода: 1—3 — адиабаты водорода с различными температурами T (при $p = 1$ бар) — 140°К (кривая 1), 250°К (кривая 2), 90°К (кривая 3), 4 — нулевая изотерма.



в виде $T_{ад} = T(p)$ и связать распределение температуры в недрах планеты с распределением плотности. Подставляя $T_{ад} = T(p)$ в (73), получаем уравнение адиабаты

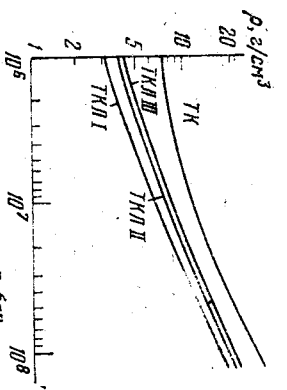


Рис. 33. Нулевые изотермы тяжелой компоненты (TK) и смесей ТК и различных вариантов ядер (TKII), (TKIII).

$p_{ад} = p(\rho)$ в переменных (ρ, p) , которое может быть использовано при расчетах моделей планеты. В настоящее время построены двухслойные модели планет-гигантов. Оболочки планет состоят в основном из водородо-гелиевой

компоненты, а ядра из того или иного варианта ТКЛ-компоненты. В конвективной планете предположение о постоянстве химического состава каждого слоя (оболочки и ядра) является естественным, так как конвекция осущестляет перемешивание, а возникновение даже небольшого градиента концентрации достаточно, чтобы «запереть» конвекцию. При расчетах уравнения состояния смеси всплеск как для оболочки, так и для ядра вычисляются в приближении аддитивности парциальных объемов

$$\frac{1}{\rho(p)} = \sum_i \frac{X_i}{p_i(p)},$$

где X_i — обилие по массе каждого вещества, $\sum_i X_i = 1$.

Строение оболочек планет в основном определяется сжимаемостью водорода (рис. 32), а строение ядер — нулевыми изотермами ТКЛ-вещества (рис. 33).

9.7. МОДЕЛИ ЮПИТЕРА И САТУРНА

В настоящее время построены двухслойные модели внутреннего строения обеих планет. Ядра планет состоят из конденсата ТК и ядер (обилие элементов в солнечной пропорции). Исследовано четыре варианта химического состава ядра: ТКЛ (ТК + Л), ТКЛС, ТКЛШ и ТК. Оболочки моделей первого типа состоят только из газовой компоненты ГГ (или ГГ, ГГ). В них массовые концентрации водорода, гелия и других газов будут соответствен но X , Y и Z ; $X+Y+Z=1$. В модели II типа в состав оболочки, кроме газовой компоненты, входит также вещество ядра с концентрацией Z_2 ; $X+Y+Z_1+Z_2=1$. Величина Z_1 по отношению к сумме $X+Y$ всегда бралась в солнечной пропорции. Чтобы удовлетворить известным параметрам планеты — массе, радиусу, периоду вращения и гравитационным моментам J_2 и J_4 (см. табл. 13), в моделях I типа подбиралось отношение Y/X (в оболочке), а в моделях II типа — величина $Z_2/(X+Y+Z_1)$, а отношение $Y/X=0,26$ фиксировалось в солнечной пропорции.

Адиабатическая модель планеты зависит также от гравитационных значений давления p_1 и температуры T_1 в облачном слое. Давление p_1 всегда принималось равным одной атмосфере, а T_1 варьировалось. Так, для типичных моделей

ядра I типа для обеих планет, показанных на рис. 34 и 35, $T_1=140^{\circ}\text{K}$, а $X=0,68$ (в оболочке). В этой модели ядра Юпитера и Сатурна состоят из ТКЛШ. Полная массовая концентрация ТКЛ-вещества в планете обозначена Z т.к. Модели I типа соответствуют схеме образования планеты, по которой вначале образуется ядро из конденсата, а затем происходит акреция газа на образованное

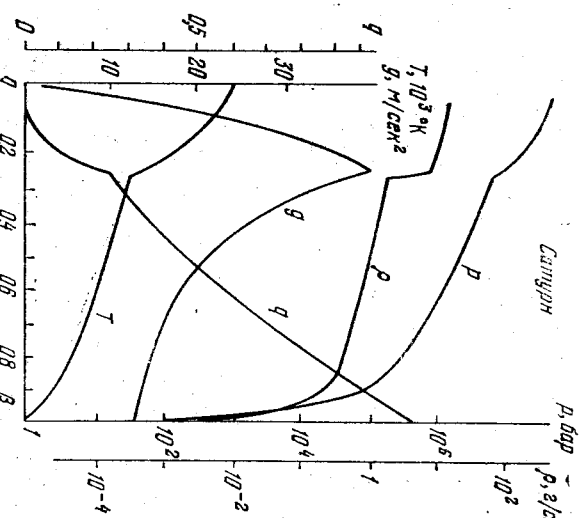


Рис. 34. Модель Юпитера. ρ — плотность, p — давление, T — температура, g — гравитационное ускорение, q — относительная масса, заложенная в сфере радиуса β как функция относительного радиуса.

таким образом ядро. Ясно, что это предельная идеализированная схема, поэтому истинная модель планеты должна быть промежуточной между моделью I и II типов. Для Сатурна модель I типа с $T_1=90^{\circ}\text{K}$ является предельной, так как в такой модели концентрация гелия $Y=0$, что неприемлемо с позиций космохимии. Для Юпитера модель I типа с $T_1=250^{\circ}\text{K}$ также является предельной, так как при этой граничной температуре T_1 у планеты пропадает ядро из ТКЛ-вещества и при еще больших T_1 для сохранения условия полной массы в модель придется ввести разуплотнение вещества в центре, что

Физически бессмысленно. Это единственная модель Юпитера, которая имеет среднесолнечный состав. Во всех остальных моделях планета обогащена ТКЛ-компонентой по сравнению со среднесолнечной пропорцией элементов. В объеме исследование моделей Юпитера и Сатурна показывает, что обе планеты должны обладать ядрами из ТКЛ-вещества. По массе ядро Юпитера составляет $(3 \div 4)\%$, а ядро Сатурна $(26 \div 28)\%$ от полной массы. Величина $Z_{\text{ткл}}$, приведенная в табл. 15, позволяет оценить минимальные массы вещества протопланетного облака в зонах

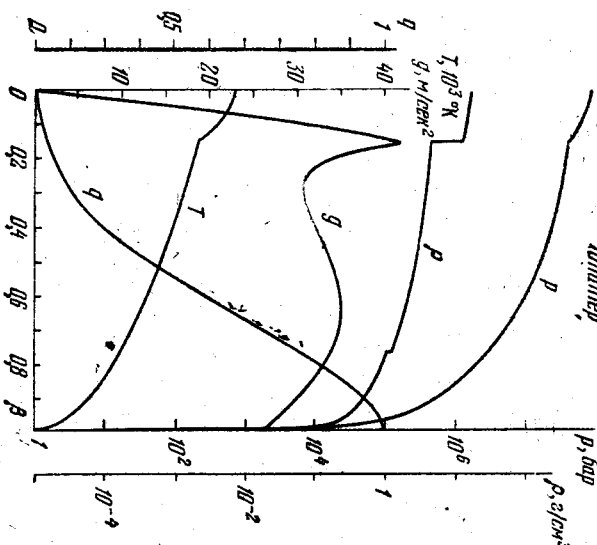


Рис. 35. Модель Сатурна. См. подпись к рис. 34.

образования этих планет. Масса всего вещества в зоне по отношению к массе планеты $M_a/M = (Z_{\text{ткл}}/Z_{\text{ткл}}^0)$, где $Z_{\text{ткл}}^0 \sim (0,012 \div 0,018)$ — предполагаемое обилие ТКЛ-компоненты в протопланетном облаке, равное солнечному общему. Тогда, следовательно, масса потерянного из зоны вещества равна: $\Delta M/M = (M_a/M) - 1$. Эта величина для различных моделей приведена в последнем столбце табл. 15. По этим оценкам масса газа, диссилировавшего из зоны Юпитера, заметно различается для изученных

моделей. Для Юпитера грубой оценкой будет $(\Delta M/M)_0 \sim 5 \div 10$. Для Сатурна эта величина заключена между ~ 15 и ~ 24 планетными массами для моделей с ядрами из ТКЛ-ТКЛП, $(\Delta M/M)_0 \sim 15 \div 24$.

Тот факт, что обе планеты находятся в конвективном состоянии, т. е. являются адиабатическими, позволил на-дежно рассчитать распределение температуры в Юпитере и Сатурне (см. рис. 34 и 35) из условия постоянства

Химический состав Юпитера и Сатурна

Планета	$T_1, ^\circ\text{K}$	Обилие в оболочке*)	Обилие во всей планете			$\Delta M/M$			
			X	Y	Z_1				
Юпитер	140	1	0,68	0,31	0	0,68	0,30	0,04	2
	250	1	0,71	0,18	0,10	0,69	0,18	0,12	8
Сатурн	140	1	0,51	0,47	0,01	0,51	0,47	0,01	0
	90	1	0,60	0,16	0,23	0,60	0,16	0,23	17
	11	1	0,68	0,31	0	0,50	0,23	0,26	19
	1	1	0,71	0,18	0,10	0,53	0,14	0,33	24
			0,99	0	0	0,68	0,31	0,31	24

*) $Z_1 = 0,01$ во всех моделях.

энтропии в их недрах¹⁾. Мы уже отмечали выше, что переход в металлическую фазу молекулярного водорода происходит при $r \sim 3 \text{ Мбар}$. В модели Юпитера, показанной на рис. 34, это соответствует значению относительного радиуса $\beta = r/R$ (R — средний радиус планеты), равному $\beta_m = 0,765$. Металлическая оболочка в Юпитере простирается до границы с ТКЛ-ядром при $\beta_n = 0,45$. На этом уровне давление равно $42,3 \text{ Мбар}$, в центре планеты $p_0 = 78 \text{ Мбар}$.

В модели Сатурна (см. рис. 35) металлическая оболочка лежит в интервале $0,465 \geq \beta \geq 0,267$. Давление на границе с ядром из ТКЛ-компоненты сравнительно невелико: $p_n = 8,12 \text{ Мбар}$ ($\beta_n = 0,267$). Давление в центре Сатурна $p_0 = 48 \text{ Мбар}$. Температуры в центре обеих планет равны

1) Энтропия — это термодинамическая величина, остающаяся постоянной при адиабатическом процессе, когда не происходит обмена теплом между различными элементами среды. Она не имеет столь наглядного смысла, как температура или давление, являясь в то же время не менее важной термодинамической величиной.

$\sim 2,5 \cdot 10^4$ °К. В действительности может оказаться, что велества, из которых состоит ТКЛ-ядра Юпитера и Сатурна, дифференцированы по плотности. Однако имеющие пока данных явно недостаточно для количественного исследования этого вопроса. Юпитер обладает мощным собственным магнитным полем. Это поле было открыто и исследовано по радиовидению планеты в 1954—1960 гг. Тогда же было установлено, что полярность магнитного поля Юпитера обратна полярности земного магнитного поля. Данные, полученные с помощью космических аппаратов «Пионер-10, -11» позволили охарактеризовать это поле количественно. Определены следующие коэффициенты Гаусса в магнитном потенциале W [формула (29)] планеты:

$$g_1^0 = 4,129, \quad g_1^1 = -0,492, \quad h_1^1 = 0,531 \text{ гс}$$

(этим коэффициентам соответствует напряженности dipоля на экваторе планеты $B_1 = 4,19$ гс. Ось диполя наклонена к оси вращения на угол $\sim 10^\circ$),

квадрупольные коэффициенты:

$$g_2^0 = 0,42, \quad g_2^1 = -0,738, \quad h_2^1 = -0,050,$$

$$g_2^2 = 0,324, \quad h_2^2 = -0,381 \text{ гс}$$

($B_2 = 0,89$ гс).

Определены также октупольные коэффициенты и соответственно $B_3 = 0,61$ гс. Интересно, что отношения $B_2/B_1 \sim 0,2$ и $B_3/B_1 \sim 0,14$ близки к аналогичным отношениям для земного поля. Поле Юпитера является полем эксцентричного диполя, центр которого отстоит от оси вращения на $\sim 0,2R_J$ и на $\sim 0,1R_J$ смешен в северное полушарие. Из-за этого максимальное значение поля на поверхности Юпитера в северном полушарии составляет ~ 14 гс, а в южном полушарии 11 гс. Магнитный момент Юпитера $M_J = B_1 \cdot R_J^3 = 1,35 \cdot 10^{30}$ гс·см³. Источники магнитного поля Юпитера расположены в его обширной металлической оболочке.

Выше отмечалось, что тепловые потоки из недр обеих планет очень велики; они равны потокам, получаемым планетами от Солнца. Это аномальное явление еще не получило однозначного объяснения, хотя большинство исследователей склоняется к объяснению этого теплового потока гравитационным сжатием планеты.

9.8. МОДЕЛИ УРАНА И НЕПТУНА

Двухслойные адабатические модели обоих планет показаны на рис. 36 и 37. Отношение Y/X в водородо-гелиевой оболочке (из Г) выбрано в солнечной пропорции ($Y/X = 0,26$). Для ядра принят состав ТКЛ (СН₄ + NH₃ + H₂O + ТК) в соответствии с предположением о никакой начальной температуре в области образования Урана и Нептуна. Модели Урана и Нептуна принадлежат к моделям II типа, так как их тонкие водородо-гелиевые оболочки содержат примесь 10% ТКЛ-компоненты. Основные параметры моделей следующие: относительный радиус и масса ТКЛ-ядер равны соответственно 0,78 и 0,94 для Урана и 0,85 и 0,97 для Нептуна. Давление на границе ядра у Урана $p_a = 117$ кбар, а у Нептуна $p_a = 74,6$ кбар. Давление в центре Урана $p_0 = 5,83$ Мбар, а в центре Нептуна — 12 тыс. град. (гранична температура $T_1 = 100$ °К).

Обе планеты имеют близкий химический состав H₂O — (0,39—0,4); CH₄ — (0,22—0,23); NH₃ — 0,08; ТК — (0,24—0,25); (H₂+He) — (0,03—0,06) по массе. Эти модели имеют значение момента J_2 для Урана 0,01, а для Нептуна 0,004, что близко к наблюдаемым значениям, приведенным в табл. 13. Данных об Уране и Нептуне еще слишком мало, поэтому модели обеих планет следует рассматривать как предварительные. В частности, из физических соображений ясно, что ядра планет должны быть дифференцированы по плотности.

9.9. ПЛАНЕТА ПЛУТОН — БЫВШИЙ СПУТНИК НЕПТУНА?

Плутон — наиболее удаленная планета в Солнечной системе. Ее среднее расстояние от Солнца составляет 39,5 а. е. Эксцентриситет орбиты велик, а ее наклон к плоскости эклиптики $\sim 18^\circ$. Данные о Плутоне очень неадекватны. Его массу оценивают в $\sim 0,11$ массы Земли, а радиус в 0,5 земного, так что средняя плотность получается равной $\sim 4,9$ г/см³. Период его вращения равен 6,4 суток, т. е. велик для столь удаленной от Солнца планеты, вращение которой никак не могло быть на протяжении ее существования замедлено из-за процессов приливного трения. Итак, планета Плутон является аномальной как по характеристикам своей орбиты, так и по

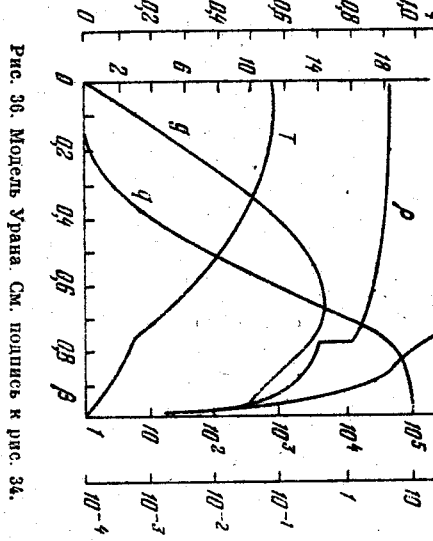
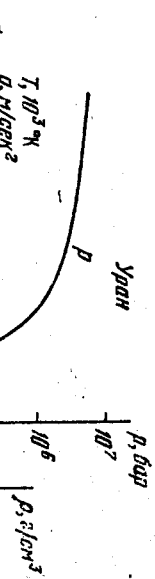


Рис. 36. Модель Урана. См. подпись к рис. 34.

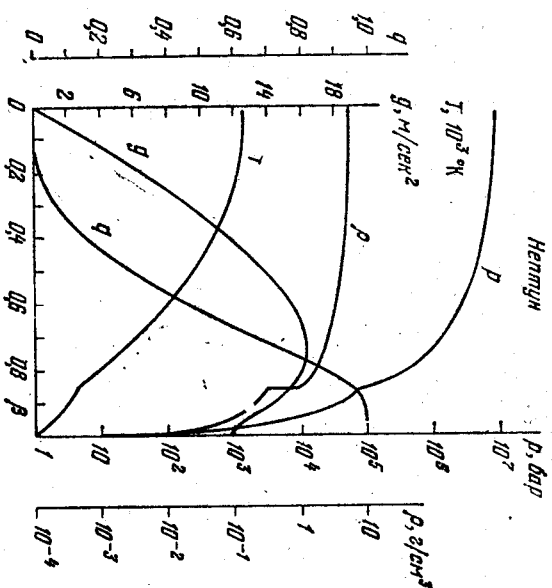


Рис. 37. Модель Нептуна. См. подпись к рис. 34.

материальными параметрами. Действительно, ее средняя плотность, правда, определенная еще очень недостоверно, ближе к величинам, характерным для планет земной группы, а сама планета расположена в стане планет-гигантов. Естественно, строить модели внутреннего строения Плутона еще рано.

Большой научный интерес представляет гипотеза, выдвинутая в 1936 г. английским теоретиком Литтлтоном, согласно которой планета является бывшим спутником Нептуна. Гипотеза предполагает, что Плутон синхронно обращался вокруг Нептуна, т. е. период его вращения вокруг оси равнялся периоду обращения вокруг планеты (так же, как сейчас Луна обращается вокруг Земли и Тритон вокруг Нептуна). В настоящее время практически все спутники в Солнечной системе находятся в состоянии синхронного вращения. Синхронное вращение спутников возникло в раннюю эпоху существования планетной системы и обусловлено торможением вращения спутников притяжими, вызываемыми на них планетами. Итак, свой период вращения 6,4 суток. Плутон приобрел на синхронной орбите вокруг Нептуна. Он покинул планету после сближения («столкновения») с Тритоном. Если это так, то период вращения Плутона должен быть примерно равен орбитальному периоду обращения Тритона, т. е. 5,9 суток. Как мы видим, согласие обеих периодов хорошее. В результате этого столкновения Плутон был выброшен на свою сильно эксцентричную и наклонную орбиту, а орбита Тритона также претерпела существенное изменение. Из экваториальной она стала сильно наклоненной и движение стало обратным. Гипотеза Литтлтона предполагает, что физические свойства Плутона и Тритона должны быть близки, так как они образовались рядом у одной и той же планеты. Это обстоятельство может быть установлено только с помощью космических исследований, когда будут получены более детальные данные об этих телах. Пока что все это остается интересной гипотезой.